

Метод обратного проецирования для гексагональных кодирующих коллиматоров в эмиссионной томографии с интегрально-кодовыми системами измерений

Аннотация

Эмиссионная вычислительная томография является одним из эффективных способов диагностики патологических состояний организма человека. В рамках эмиссионной томографии развивается новый подход, связанный с использованием интегрально-кодовых систем измерений (ИКСИ). Разработан итерационный алгоритм, реализующий метод обратного проецирования для эмиссионной томографии на основе ИКСИ с использованием гексагональных кодирующих коллиматоров. Проведено численное моделирование, демонстрирующее работоспособность предложенного метода.

Введение

Эмиссионная вычислительная томография является одним из эффективных способов диагностики патологических состояний организма человека. В рамках эмиссионной томографии развивается новый подход, связанный с использованием интегрально-кодовых (мультиплексных) систем измерений (ИКСИ). ИКСИ используют в таких областях, как рентгеновская и гамма-астрономия [1], радиационная интроскопия [2], радиационная безопасность [3], [4], медицина [5], оптика [6] и др. [7], [8].

Перспективным направлением развития интегрально-кодовых систем измерений является применение кодирующих коллимирующих устройств для томографической реконструкции трехмерных пространственных распределений радионуклидов без вращения массивной детектирующей системы вокруг объекта исследования [9]-[16]. Среди кодирующих устройств особого внимания заслуживают двумерные многопинхольные кодирующие коллиматоры (КК) [9], [14], [15], применение которых в ИКСИ дает возможность получать не только планарное двумерное, но и восстанавливать полное трехмерное распределение радионуклидов в объектах [9], [14], [16]. При этом плоскость коллиматора разбивается на условную регулярную сетку ячеек, в каждой из которых может находиться отверстие (пинхол), образующее на плоскости детектора проекционное изображение излучающего объекта. Отношение количества пинхолов k к общему количеству ячеек v в сетке представляет собой среднее пропускание коллиматора $\rho = k/v$.

Кодирующие устройства на основе двумерных псевдослучайных таблиц хорошо сочетаются с квадратными и прямоугольными детекторами. Однако при применении детекторов с круглой чувствительной поверхностью и кодирующими коллиматорами прямоугольной формы примерно треть полезной площади детекторов не используется. По этой причине представляют интерес гексагональные кодирующие коллиматоры (ГКК), использующие площадь детектора более эффективно [17], [18]. Помимо кодирующих коллиматоров со средним пропусканием, близким к 0,5 (рис. 1a), построенных на основе класси-

ческих псевдослучайных последовательностей [9], [14], [15], возможны также и кодирующие коллиматоры с малым (рис. 1б) и очень малым (рис. 1в) пропусканием, построенные на основе расширенных псевдослучайных последовательностей [19].

Трансаксиальная эмиссионная вычислительная томография [9], основанная на вращении гентри, получила повсеместное применение в ядерной медицине, однако реализация подобной схемы измерений не всегда возможна, например из-за габаритов или конфигурации исследуемого объекта. Именно в этом случае перспективно использование кодирующих коллиматоров для томографической реконструкции трехмерных пространственных распределений радионуклидов без вращения массивной детектирующей системы вокруг исследуемого объекта [9], [14].

Теория

При применении ИКСИ большое значение имеют фокусирующие свойства кодирующих коллиматоров, позволяющие сопоставить кодирующему коллиматору фокусное расстояние, определяемое формулой

$$f = LD / (D - d), \quad (1)$$

где f – расстояние от плоскости детектора до фокусной плоскости (фокусное расстояние); L – расстояние от плоскости детектора до плоскости кодирующего коллиматора; d – линейный размер ячейки сетки коллиматора; D – линейный размер ячейки соответствующей сетки детектора.

Фокусирующие свойства кодирующих коллиматоров позволяют использовать метод фокусных плоскостей (МФП), в котором осуществляется последовательная фокусировка на плоскости в исследуемом объекте [9], [14]. Считая, что пространственное распределение источников излучения состоит из набора точечных источников, измерения в МФП можно описать следующей системой матричных уравнений [9], [14], [16]:

$$\vec{q} = \widehat{H} \vec{p}, \quad (2)$$

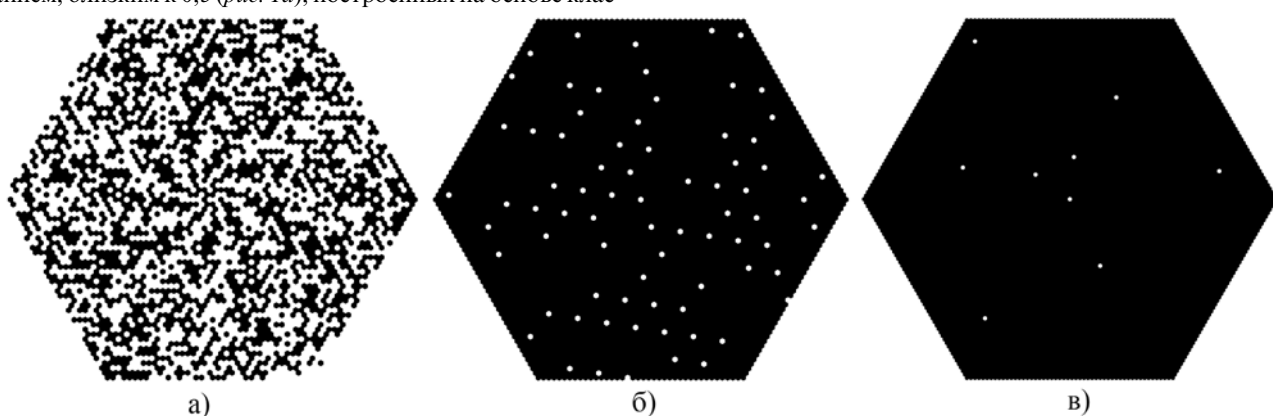


Рис. 1. Примеры гексагональных кодирующих коллиматоров с параметрами:
а) $k = 975$ и $v = 1951$; б) $k = 75$ и $v = 4861$; в) $k = 9$ и $v = 7957$

где матрица \hat{H} определяет вклад как фокусных, так и внефокусных плоскостей в объемном источнике в результаты измерений; \vec{p} – вектор, отображающий трехмерное распределение источников излучения; \vec{q} – вектор измерений.

Матрица \hat{H} известна заранее и зависит как от выбора кодирующего коллиматора, так и от геометрии измерений. Если используется кодирующий коллиматор с v ячейками и число фокусных плоскостей равно M , то размерность \hat{H} равна $Mv \times Mv$.

В соответствии с МФП, сфокусированные изображения источников для каждой фокусной плоскости получаются умножением результатов измерений для этой фокусной плоскости на некоторую матрицу, которая при использовании ИКСИ определяется расположением пинхолов в кодирующем коллиматоре и известна заранее. Сфокусированные изображения определяются томографическими свойствами кодирующих коллиматоров и используются в качестве начального приближения в итерационных алгоритмах.

В эмиссионной томографии с использованием ИКСИ можно использовать только итерационные алгоритмы [20], [21]. В МФП с прямоугольными кодирующими коллиматорами для решения системы (2) был разработан метод обратного проецирования (МОП), доказавший свое превосходство над другими исследованными итерационными алгоритмами [22]. Поэтому и для гексагональных кодирующих коллиматоров можно предложить аналогичный метод обратного проецирования, а также соответствующий алгоритм, реализующий МОП.

В основе МОП лежит использование информации о том, какие источники вносят вклад в каждую ячейку позиционно-чувствительного детектора. При этом каждая итерация состоит из нескольких этапов:

$$\vec{s}^{(k+1,1)} = \vec{p}^{(k)}; \quad (3)$$

$$\vec{s}^{(k+1,i)} = \vec{s}^{(k+1,i-1)} + \alpha_{ik} \frac{q_i - \vec{h}_i^T \vec{s}^{(k+1,i-1)}}{\vec{h}_i^T \vec{h}_i} \vec{h}_i, \quad i = 2, 3, \dots, Mv; \quad (4)$$

$$\vec{p}^{(k+1)} = \vec{s}^{(k+1,Mv)}, \quad (5)$$

где $\vec{h}_i^T = [(h_i)_1, (h_i)_2, \dots, (h_i)_{Mv}]$ – i -я строка матрицы \hat{H} , записанная в виде вектора-столбца; α_{ik} – коэффициент, учитывающий обратную квадратичную зависимость показаний детектора от расстояния между элементарным источником и элементарной ячейкой детектора.

Результаты

Для исследования предложенного итерационного алгоритма восстановления трехмерного распределения источников излучения при использовании ИКСИ с многогипнольными ГКК различной размерности была разработана специальная программа численного моделирования.

В рентгеновской трансмиссионной томографии для тестирования часто используют фантом Шеппа-Логана [20], моделирующий сложное пространственное распределение коэффициента поглощения излучения. В эмиссионной томографии также можно использовать аналогичный фантом, моделирующий сложное пространственное распределение источников излучения. Визуально такой модифицированный фантом представляет собой суперпозицию эллипсоидов, имеющих различную ориентацию.

На рис. 2а представлено тестовое распределение типа «Многоуровневый источник», представляющее собой набор параллельных плоскостей (на рис. 2а – 5 плоскостей) в трехмерном пространстве, в которых расположены точечные источники в виде некоторого узора, причем между плоскостями, в отличие от фантома Шеппа-Логана, источников излучения нет. Восстановление проводится в этом же наборе плоскостей. На рис. 2б показаны сфокусированные изображения этого тестового распределения, зависящие от конфигурации использованного кодирующего коллиматора и служащие начальным приближением для итерационного алгоритма. В численном эксперименте использовался кодирующий коллиматор с $v = 4682$ и количеством пинхолов $k = 75$. При этом коэффициент расширения, используемый для преобразования псевдослучайной последовательности в расширенную псевдослучайную последовательность, $n = 30$ [19]. На рис. 2в показаны реконструированные изображения после 25 итераций МОП. Хорошо видна работоспособность алгоритма МОП.

На рис. 3 представлены сечения фантома Шеппа-Логана (рис. 3а), сфокусированные (рис. 3б) и реконструированные изображения (рис. 3в) этих сечений после 25 итераций МОП при использовании кодирующего коллиматора с $v = 7957$, $k = 9$, $n = 108$. Кроме того, представлены сфокусированные (рис. 3г) и реконструированные изображения (рис. 3д) после 25 итераций МОП при использовании другого кодирующего коллиматора с $v = 1951$, $k = 975$, $n = 0$, в котором количество пинхолов значительно больше.

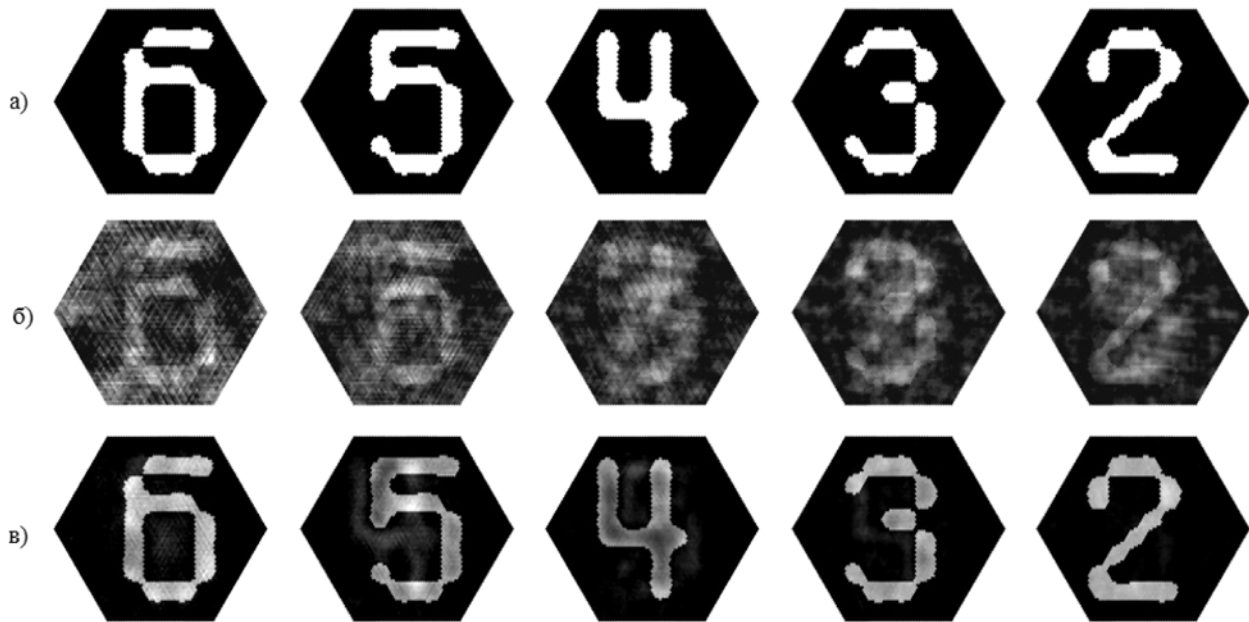


Рис. 2. Реконструкция тестового распределения: а) истинное распределение типа «Многоуровневый источник» в пяти плоскостях восстановления; б) сфокусированные изображения; в) восстановленное изображение после 25 итераций при использовании кодирующего коллиматора с $v = 4682$, $k = 75$, $n = 30$

Выводы

Проведенные численные эксперименты показали, что итерационный алгоритм, реализующий предложенный метод обратного проецирования, позволяет проводить полную пространственную реконструкцию источников излучения в одиночной эмиссионной томографии с использованием интегрально-кодовых систем измерения на основе гексагональных кодирующих коллиматоров. Для реконструкции можно использовать как классические кодирующие коллиматоры на основе псевдослучайных последовательностей со средним пропусканием, близким к 0,5 или меньшим, так и новые кодирующие коллиматоры на основе расширенных псевдослучайных последовательностей с существенно меньшим коэффициентом пропускания.

По скорости работы алгоритма реконструкции гексагональные коллиматоры с небольшим количеством пинхолов значительно превосходят коллиматоры с большим количеством пинхолов. Распределение пинхолов по плоскости кодирующего коллиматора почти не оказывается на качестве реконструкции.

Работа выполнена при финансовой поддержке Министерства образования и науки Российской Федерации (соглашение № 14.584.21.0021, идентификатор RFMEFI58417X0021).

Список литературы:

1. Hong J.S., Vadawale S.V., Grindlay J.E., Narita T. Laboratory coded-aperture imaging experiments: Radial hole coded masks and depth-sensitive CZT detectors // Proceedings of SPIE. 2004. Vol. 5540. PP. 63-72.
2. Федоров Г.А. Радиационная интроскопия: кодирование информации и оптимизация эксперимента. – М.: Атомиздат, 1982.
3. Иванов О.П., Семин И.А., Сафонов А.М., Торицын О.С. Испытания системы визуализации полей гамма-излучения iPIX в НИЦ «Курчатовский институт» // АНРИ. 2017. № 2 (89). С. 66-70.
4. Gmar M., Gal O., Le Goaller C. et al. Development of coded-aperture imaging with a compact gamma camera // IEEE Transactions on Nuclear Science. 2004. Vol. 51. № 4. PP. 1682-1687.
5. Haboub A., MacDowell A.A., Marchesini S., Parkinson D.Y. Coded aperture imaging for fluorescent x-rays // Review of Scientific Instruments. 2014. Vol. 85. № 6. PP. 35-40.
6. Chi W., George N. Optical imaging with phase-coded aperture // Optics express. 2011. Vol. 19. № 5. PP. 4294-4300.
7. Cieslak M.J., Gamage K.A., Glover R. Coded-aperture imaging systems: Past, present and future development – A review // Radiation Measurements. 2011. Vol. 92. PP. 59-71.

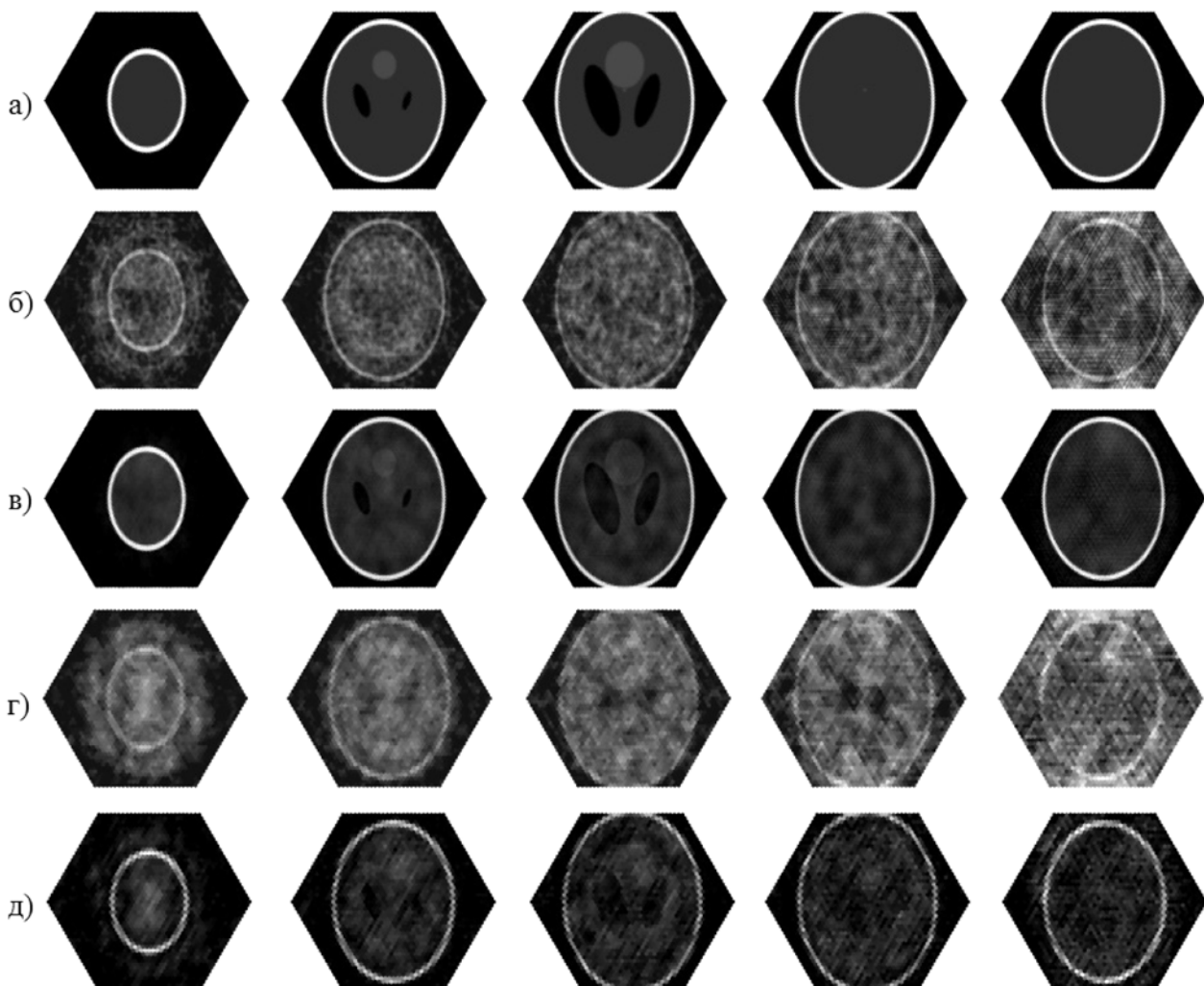


Рис. 3. Реконструкция фантома Шеппа-Логана в пяти плоскостях: истинное распределение (а); сфокусированные изображения (б) и восстановленное изображение (в) после 25 итераций при использовании кодирующего коллиматора с $v = 7957$, $k = 9$, $n = 108$ (в); сфокусированные изображения (г) и восстановленное изображение (д) после 25 итераций при использовании кодирующего коллиматора с $v = 1951$, $k = 975$, $n = 0$

8. Gottesman S.R., Isser A., Gigioli G.W. Adaptive coded aperture imaging: Progress and potential future applications // Proceedings of SPIE. 2011. Vol. 8165. PP. 816513-816521.
 9. Федоров Г.А., Терещенко С.А. Вычислительная эмиссионная томография. – М.: Энергоатомиздат, 1990.
 10. Starfield D.M., Rubin D.M., Marwala T. High transparency coded apertures in planar nuclear medicine imaging / Proceedings of the 29th Annual International Conference of IEEE EMBS. 2007. PP. 4468-4471.
 11. Уткин В.М., Кумахов М.А., Блинов Н.Н. и др. Мобильная гамма-камера «МиниСкан» и результаты ее испытаний // Медицинская физика. 2007. № 1. С. 42-53.
 12. Казачков Ю.П., Семенов Д.С., Горячева Н.П. Применение кодирующих апертур в медицинских г-камерах // Приборы и техника эксперимента. 2007. № 2. С. 131-139.
 13. Accorsi R. Design of near-filed coded aperture cameras for high-resolution medical and industrial gamma-ray imaging / Ph.D. Thesis. Department of Nuclear Engineering. MIT. 2001.
 14. Терещенко С.А. Методы вычислительной томографии. – М.: Физматлит, 2004.
 15. Fedorov G.A., Tereshchenko S.A. Multiplexed Systems for the Detection of Ionizing Radiation. 1. Codes and Encoders // Measurement Techniques. 1995. Vol. 38. № 11. PP. 1287-1297.
 16. Fedorov G.A., Tereshchenko S.A. Integral Code Systems for Recording Ionizing Radiation: Iterative Image Reconstruction Algorithms for Focal Plane Processing // Measurement Techniques. 2001. Vol. 44. № 4. PP. 422-427.
 17. Fedorov G.A., Tereshchenko S.A., Antakov M.A., Burnaevskii I.S. Point spread functions of integral-code measurement systems with multiple-pinhole hexagonal coding collimators // Measurement Techniques. 2012. Vol. 55. № 5. PP. 574-582.
 18. Федоров Г.А., Терещенко С.А., Антаков М.А., Бурнаевский И.С. Униполярная и биполярная схемы измерений при восстановлении пространственного распределения источников излучения с использованием гексагональных кодирующих коллиматоров // Медицинская техника. 2014. № 1. С. 43-45.
 19. Fedorov G.A., Tereshchenko S.A. Extended pseudorandom sequences and two-dimensional coding collimators based on them // Measurement Techniques. 2007. Vol. 50. № 6. PP. 681-689.
 20. Lalush D.S., Wernick M.N. Iterative Image Reconstruction. In: Emission Tomography. – The Fundamentals of PET and SPECT. Ed. Wernick M.N., and Aarsvold J.N. – Elsevier, 2004. PP. 443-472.
 21. Венгринович В.Л. Золотарев С.А. Итерационные методы томографии. – Минск: Белорусская наука, 2009.
 22. Федоров Г.А., Дмитриев А.М., Терещенко С.А., Антаков М.А. Реконструкция изображений пространственных распределений источников ионизирующего излучения на основе итеративного обратного проецирования в интегрально-кодовых системах измерений // АНРИ. 2012. № 1 (68). С. 62-70.
- Сергей Андреевич Терещенко,
д-р физ.-мат. наук, профессор,
кафедра биомедицинских систем,
Национальный исследовательский университет «МИЭТ»,
г. Москва, г. Зеленоград,
Георгий Алексеевич Федоров,
д-р физ.-мат. наук, профессор,
кафедра радиационной физики
и безопасности атомных технологий,
Национальный исследовательский
ядерный университет «МИФИ»,
г. Москва,
Максим Александрович Антаков,
канд. физ.-мат. наук, ст. научный сотрудник,
Игорь Сергеевич Бурнаевский,
аспирант,
кафедра биомедицинских систем,
Национальный исследовательский университет «МИЭТ»,
г. Москва, г. Зеленоград,
e-mail: tsa@miee.ru

М.И. Зеликман, С.А. Кручинин, Д.В. Михеев

Оценка технического состояния рентгенорадиологического оборудования в ЛПУ РФ по результатам периодического контроля эксплуатационных параметров

Аннотация

Приводятся данные анализа технического состояния эксплуатируемого в лечебно-профилактических учреждениях ряда регионов РФ рентгенорадиологического оборудования, проведенного по результатам периодических технических испытаний различных видов этого оборудования в рамках производственного контроля.

В последнее десятилетие лечебно-профилактические учреждения (ЛПУ) практически всех регионов Российской Федерации в рамках осуществления приоритетного национального проекта «Здоровье» (запущен в 2006 году), а также программы модернизации здравоохранения (2011-2013 гг.) были оснащены современным высокотехнологичным оборудованием для лучевой диагностики и терапии: цифровыми рентгеновскими системами для различных разделов диагностики и ангиографическими комплексами, рентгеновскими компьютерными томографами (КТ), магнитно-резонансными томографами (МРТ), совмещенными ПЭТ-КТ системами и т. д.

Для гарантирования высокоэффективной с точки зрения диагностики и терапии, а также надежной работы рентгенорадиологического оборудования необходимо предпринимать меры, связанные с обеспечением качества этого оборудования в условиях эксплуатации (англоязычный термин – Quality assurance), которые, наряду с обязательным регулярным техническим обслуживанием, включают в себя:

- проведение испытаний сразу после инсталляции оборудования в ЛПУ (приемочные испытания) или после проведения существенных ремонтных работ, затрагивающих основные блоки и узлы аппаратов;
- проведение периодических испытаний оборудования в условиях эксплуатации, в том числе проведение испытаний на постоянство параметров;
- проведение регламентных работ, включая ежедневный контроль состояния оборудования до начала исследования пациентов.

Проведение испытаний после инсталляции рентгеновского оборудования в ЛПУ (приемочных) и периодических испытаний регламентируется СанПиН 2.6.1.1192-03 «Гигиенические требования к устройству и эксплуатации рентгеновских кабинетов, аппаратов и проведению рентгенологических исследований» [1], а также документом «Технический паспорт на рентгеновский диагностический кабинет» (Минздрав РФ, Москва, 2002 г.) [2]. В соответствии с этими документами, пе-